

خون

دوره ۷ شماره ۳ پاییز ۸۹ (۱۴۷-۱۳۸)

فکشنامه علمی تحقیقاتی

تأثیر داروی آرسنیک تری اکسید بر بیان ژن‌های مسیر میتوکندریایی آپوپتوز در رده سلولی لوکمیای پرومیلوسیتیکی حاد

ماندیه شریعتی‌زاده^۱، مهرداد هاشمی^۲، مجید مؤمنی^۳، کامران علی مقدم^۴، اردشیر قوام‌زاده^۵، حمیدالله غفاری^۶

چکیده

سابقه و هدف

لوکمی پرومیلوسیتیکی حاد (APL)، بدینه ترین نوع لوکمیای حاد است که در عرض چند هفته باعث مرگ می‌شود و حدود ۱۰-۱۵ درصد انواع لوکمی‌های میلوسیتیکی حاد را شامل می‌شود. آرسنیک تری اکسید به عنوان یک عامل درمانی منفرد، درمان برگزیده برای APL شناخته شده است که عمله اثر آن القای مرگ سلولی از طریق آپوپتوز است، اما مکانیسمی که با آن باعث القای آپوپتوز می‌شود و عمیقاً بیان ژن‌ها را تحت تأثیر قرار می‌دهد، هنوز به درستی شناسایی نشده است. از این رو بررسی تأثیر آن بر بیان ژن‌های درگیر در سلطان ضروری می‌باشد.

مواد و روش‌ها

مطالعه انجام شده از نوع تحلیلی بود. برای فهم مکانیسم‌های درگیر در القای مرگ سلولی توسط آرسنیک، رده سلولی NB4 با غلظت‌های $0.5\mu\text{M}$ ، $1\mu\text{M}$ و $2\mu\text{M}$ آرسنیک تری اکسید تیمار شدند و به ترتیب پس از زمان‌های ۱۲، ۲۴، ۴۸ و ۷۲ ساعت، RNA آن‌ها استخراج شد. پس از سنتز cDNA، میزان بیان ژن‌های آپوپتوزی در مسیر میتوکندریایی شامل کاسپاز ۳، Mcl-1 و Bcl-2 با روش Real-Time PCR مورد مطالعه قرار گرفت. از آزمون β ، نرم‌افزار Excel و آنالیز واریانس برای تحلیل داده‌ها استفاده شد.

یافته‌ها

یافته‌های ما نشان داد که القای مرگ توسط آرسنیک، با کاهش بیان mRNA آنتی آپوپوتیک Bcl-2 همراه است اما بیان ژن‌های کاسپاز ۳ و Mcl-1 پس از تیمار با آرسنیک تغییری نمی‌کند.

نتیجه‌گیری

این نتایج نشان می‌دهد که تغییر در بیان ژن Bcl-2 می‌تواند یکی از مکانیسم‌های عمل آرسنیک از طریق القای آپوپتوز باشد در حالی که ژن‌های کاسپاز ۳ و Mcl-1 نقشی در آن ندارند.

کلمات کلیدی: لوکمیای پرومیلوسیتیکی حاد، آرسنیک تری اکسید، آپوپتوز، کاسپاز ۳، ژن‌های Bcl-2

تاریخ دریافت: ۱۱/۱۱/۱۱

تاریخ پذیرش: ۲۳/۴/۱۹

۱- کارشناس ارشد زیست‌شناسی سلولی و مولکولی - دانشگاه آزاد اسلامی واحد علوم و تحقیقات تهران

۲- PhD ژنتیک مولکولی - استادیار دانشکده پزشکی دانشگاه آزاد اسلامی واحد پزشکی تهران

۳- کارشناس ارشد ژنتیک - مرکز تحقیقات خون، انکولوژی و پیوند سلول‌های بنیادی بیمارستان دکتر شریعتی - دانشگاه علوم پزشکی تهران

۴- فوق تخصص خون و انکولوژی - دانشیار مرکز تحقیقات خون، انکولوژی و پیوند سلول‌های بنیادی بیمارستان دکتر شریعتی - دانشگاه علوم پزشکی تهران

۵- فوق تخصص خون و انکولوژی - استاد مرکز تحقیقات خون، انکولوژی و پیوند سلول‌های بنیادی بیمارستان دکتر شریعتی - دانشگاه علوم پزشکی تهران

۶- مؤلف مسؤول: PhD ژنتیک مولکولی - دانشیار مرکز تحقیقات خون، انکولوژی و پیوند سلول‌های بنیادی بیمارستان دکتر شریعتی - دانشگاه علوم پزشکی تهران

کارگر شمالی - کدپستی: ۱۴۱۱

Differentiation Therapy بسیار اهمیت دارد. درمان APL با سایر انواع AML متفاوت است. امروزه اکثر بیماران APL با (All-Trans Retinoic Acid) ATRA درمان می‌شوند که باعث فعال کردن رسپتور رتینوئیک اسید و تمایز پرومیلوسیت‌ها می‌شود. با این وجود در حال حاضر عود بیماری و مقاومت به درمان، بزرگ‌ترین مشکل در مورد APL است^(۸). بنابراین بررسی داروهای جدید علیه APL ضروری می‌باشد. آرسنیک تری‌اکسید (ATO) به عنوان ATO به عنوان یک عامل درمانی منفرد (بدون نیاز به ATRA و سایر داروهای شیمی درمانی) می‌تواند باعث القای رمیسیون APL کامل (Complete Remission = CR) در بیماران شود^(۹). استفاده از آرسنیک از اوایل دهه ۱۹۹۰ توانست در درمان بیماران عود یافته به خوبی مفید واقع شود^(۱۰). آرسنیک تری‌اکسید در غلظت‌های پایین ($0.1-0.5 \mu\text{M}$) از طریق تجزیه کردن پروتئین فیوژن PML-RAR، باعث القای تمایز در پرمیلوسیت‌های سرطانی می‌شود، در حالی که در غلظت‌های بالا ($0.5-2 \mu\text{M}$)، مسیرهای آپوپتوز پرمیلوسیت‌ها و سایر سلول‌های سرطانی را از طریق مکانیسم‌های مختلف هدف قرار می‌دهد. آپوپتوز در نتیجه یک برنامه ژنتیکی در سلول رخ می‌دهد که باعث حفظ هموستاز می‌شود و اختلال در آن می‌تواند منجر به بسیاری از بدخیمی‌ها از جمله APL شود^(۱۱).

مکانیسم‌های مسؤول در القای آپوپتوز توسط آرسنیک هنوز به طور کامل شناسایی نشده است اما عمدۀ اثر آرسنیک برای القای آپوپتوز، هدف گرفتن مسیر درونی آپوپتوز یا مسیر میتوکندریایی می‌باشد^(۱۱). از این رو در این تحقیق به منظور فهم بیشتر چگونگی مکانیسم عمل آرسنیک، تصمیم گرفته شد بیان چندین ژن کلیدی در مسیر میتوکندریایی قبل و پس از درمان سلول‌ها با آرسنیک بررسی شود. این ژن‌ها عبارتند از: Mcl-1، Bcl-2 و Caspase3.

مواد و روش‌ها

کشت سلولی:

مطالعه انجام شده در این پژوهش از نوع تحلیلی بود.

Acute Promyelocytic Leukemia APL گفته می‌شود، یکی از سرطان‌های خونی است که در اثر نقص در بلوغ گلبول‌های سفید در رده میلوئیدی به وجود می‌آید و باعث تجمع سلول‌های نابالغی به نام پرمیلوسیت می‌شود. بر اساس طبقه‌بندی (French- FBA) APL یکی از انواع AML (نوع M3 American-British) می‌باشد و اولین بار در سال ۱۹۵۷ توسط Leif Hillestad، ماهیت آن به عنوان یک بیماری مستقل شناسایی شد. حدود ۱۰-۱۵ درصد انواع AML را شامل می‌شود و معمولاً در سنین ۴۰-۵۰ سالگی رخ می‌دهد^(۲).

علت شایع ALP، (بیش از ۹۵ درصد موارد) ترانسلوکاسیونی است که بین کروموزوم ۱۵ و ۱۷ اتفاق می‌افتد. شکستگی در کروموزوم ۱۵ در ژن PML (Promyelocytic Leukemia) که یک فاکتور رونویسی سرکوب‌کننده رشد را کد می‌کند و در کروموزوم ۱۷ در ژن RAR α (Retinoic Acid Receptor Alpha) که تمایز رده میلوئیدی را کنترل می‌کند، رخ می‌دهد. حاصل این ترانسلوکاسیون، ایجاد ژن فیوژن PML-RAR α است که یک پروتئین کایمیریک تولید می‌کند. این پروتئین باعث مهار بلوغ سلول‌های میلوئیدی در مرحله پرمیلوسیتی می‌شود و تمایز نهایی سلول را مختل می‌کند^(۳).

APL یک بیماری تهاجمی با وقوع ناگهانی است. خطر بالای مرگ زود هنگام در اثر بیماری (۱۰-۲۰ درصد) و پتانسیل قابل درمان بودن آن به میزان بالا (بیش از ۸۰ درصد)، اهمیت شناسایی به موقع و آغاز سریع درمان را می‌رساند^(۵). از تعداد کل ۹۴۶ مورد سرطان دستگاه خونساز ثبت شده در بین زنان در سال ۱۳۸۳، فراوانی APL با ۲۱ نفر، ۲/۲۲ درصد بود. این سرطان در بین انواع دیگر سرطان‌های دستگاه خونساز در زنان در رتبه هشتم قرار گرفت. از تعداد کل ۱۵۴۹ مورد سرطان دستگاه خونساز گزارش شده در سال ۱۳۸۳ در بین مردان، فراوانی APL با ۲۱ مرد مبتلا، ۱/۳۶ درصد بود که در رتبه دهم قرار می‌گرفت^(۶).

APL موقعیتی فوق العاده برای مرتبط ساختن علوم پایه و پزشکی می‌باشد و در پایه‌گذاری درمان‌های جدیدی مثل

اندازه گیری شد.
به منظور ساخت cDNA هایی با غلظت یکسان، $1 \mu\text{g}$ از هر نمونه RNA با استفاده از کیت PrimeScript™ RT reagent ساخت شرکت تاکارا به cDNA، رونویسی معکوس شد.

Real-Time PCR

برای انجام Real-time PCR در این تحقیق از کیت SYBR® Green Premix Ex Taq™ ساخت شرکت تاکارا و دستگاه light cycler (رُوش) استفاده شد. واکنش ها به صورت Hot start PCR انجام شد که مانع تکثیر غیر اختصاصی و تشکیل آغازگر دایمر قبل از شروع سیکل ها (Relative quantification) می شود. Real-Time PCR از نوع کمی نسبی (Housekeeping gene) که در اینجا HPRT بود، به عنوان کنترل داخلی مقایسه شد (جدول ۱). چرخه دمایی به صورت یک مرحله فعال سازی اولیه آنژیم به مدت ۳۰ ثانیه در دمای 95°C بود که با 45 سیکل شامل مرحله دناتوراسیون (95°C ثانیه در 95°C) و مرحله ترکیبی آنلینگ اکستنشن (20 ثانیه در 60°C) ادامه می یافت. پس از آن مرحله منحنی دمای ذوب (melting curve) انجام شد تا از تکثیر اختصاصی رشته DNA هدف، اطمینان حاصل شود.

در پژوهش حاضر کلیه آزمایش ها با 3 نمونه برای هر دوز و زمان انجام شد که با گرفتن میانگین و محاسبه انحراف معیار، میزان تغییرات محاسبه شد. از فرمول $\Delta\Delta\text{CT}$ ⁻ برای محاسبه بیان ژن هدف نسبت به ژن رفرانس و از آزمون t، نرم افزار Excel و آنالیز واریانس برای تحلیل داده ها استفاده شد. $p < 0.05$ معنی دار در نظر گرفته شد.

رده سلولی NB4 دارای ترانسلوکاسیون (15,17) t از بانک سلولی انتیتو پاستور ایران به صورت ویال تهیه شد. این سلول ها در محیط کشت RPMI-1640 (دارای L- گلوتامین) حاوی 10% درصد سرم جنین گاوی (FBS) و 1% درصد آنتی بیوتیک (پنی سیلین و استرپتومایسین) و در انکوباتور 37°C و 5% درصد دی اکسید کربن رشد یافتند.

تیمار دارویی:

برای تیمار دارویی سلول ها، از آمپول های آرسنیک (سینا دارو، تهران) که غلظت آنها $5000 \mu\text{M}$ است استفاده شد. به منظور تعیین اثرات بهینه دارو، 2% متغیر دوز و زمان در این تحقیق در نظر گرفته شد. سلول های سرطانی، با غلظت های $0.5 \mu\text{M}$ ، $1 \mu\text{M}$ و $2 \mu\text{M}$ آرسنیک تری اکسید تیمار شدند و به ترتیب پس از زمان های 12 ، 24 ، 48 و 72 ساعت، RNA آنها استخراج شد. بررسی های فارماکوکنیتیکی نشان داده که این غلظت ها معادل وزن جرمی 0.15 mg/kg آرسنیک است که روزانه به بیمار تزریق می شود و بالا فاصله پس از تزریق، یک پیک $5 \mu\text{M}$ ATO در پلاسمای حاصل می کند که به سرعت به سطح پایدارتر $1-2 \mu\text{M}$ کاهش می یابد و محدوده درمانی ATO می باشد (14, 13).

استخراج RNA و سترن cDNA:

استخراج RNA با استفاده از کیت تجاری RNeasy (آلمان، کیاژن) Mini Kit انجام شد. RNA تام به وسیله الکتروفورز روی ژل آگاروز که حاوی اتیدیوم بروماید است و مشاهده دو باند مشخص 18s و 28s در موقعیت های 800 و 1500 جفت باز مربوط به RNA های ریبوزومی کنترل شد. مقدار و غلظت RNA نیز با روش تعیین دانسیتی نوری (OD) در طول موج های 260 و 280 nm و

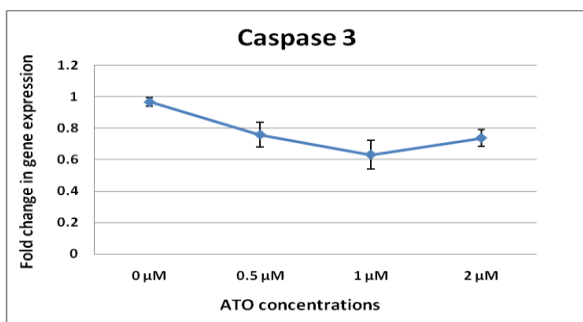
جدول ۱: توالی نوکلئوتیدی آغازگرهای مورد استفاده در Real-time PCR

Gene Symbol	آغازگر جلوبرنده	آغازگر معکوس
HPRT	TGGACAGGACTGAACGTCTTG	CCAGCAGGTCAAGAAATTAA
Bcl-2	GGGGAGGATTGTGGCCTTC	CAGGGCGATGTTGTCCACC
Casp3	ATGGAAGCGAATCAATGGACT	CTGTACCAAGACCGAGATGTCA
Mcl-1	GTGCCTTGTGGCTAACACT	AGTCCCCTTGTCCCTACGA

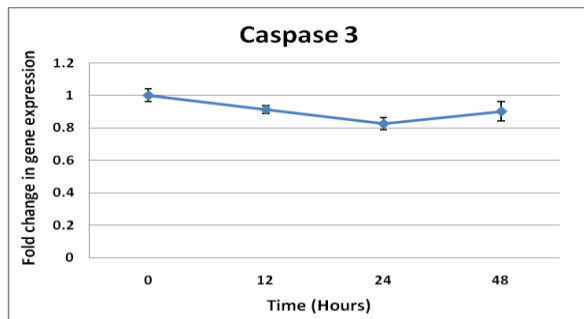
یافته ها

تغییرات در بیان ژن Caspase 3

برای بررسی بیان کاسپاز ۳ با روش Real-time PCR ابتدا با cDNA های زمان ۴۸ ساعت به صورت dose-dependent، مراحل Real-time PCR انجام شد. پس از تجزیه و تحلیل مقادیر Cp، نتایج به شکل منحنی زیر به دست آمد(نمودار ۳). سپس با cDNA های دوز $2 \mu\text{M}$ به صورت Time-dependent، مراحل Real-time PCR انجام شد و نتایج زیر حاصل شد(نمودار ۴). همان گونه که از این دو منحنی و آنالیز مقادیر cp بر می آید، بیان ژن کاسپاز ۳ پس از تیمار سلول ها با آرسنیک تری اکسید چه به صورت dose-dependent و چه به صورت time-dependent نسبت به نمونه های تیمار نشده(نمونه صفر) تغییری نمی کند.



نمودار ۳: منحنی بیان نسبی ژن کاسپاز ۳. این منحنی نشان دهنده تغییر در بیان این ژن ۴۸ ساعت پس از مصرف آرسنیک تری اکسید با دوزهای متفاوت (dose-dependent) می باشد که کاهش چشمگیری نسبت به نمونه های تیمار نشده(نمونه صفر) نداشته است.

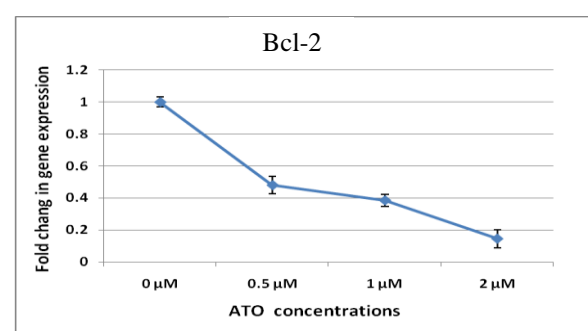


نمودار ۴: نمودار بیان نسبی ژن کاسپاز ۳ در سلول های NB4 تیمار شده با دوز $2 \mu\text{M}$ آرسنیک در زمان های مختلف که نمایانگر عدم تغییر بیان این ژن می باشد.

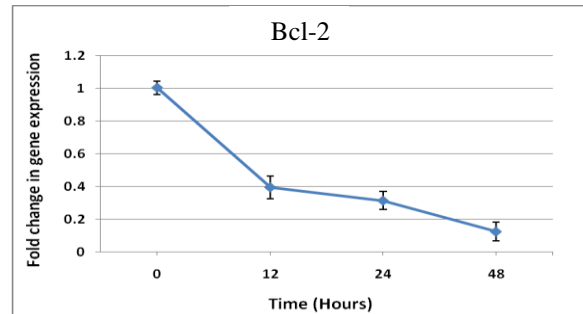
یافته ها

تغییرات در بیان ژن Bcl-2

نتایج به دست آمده در مورد ژن Bcl-2 حاصل از Real-time PCR با cDNA های سلول های تیمار شده در زمان ۴۸ ساعت به صورت dose-dependent و با cDNA های دوز $2 \mu\text{M}$ به صورت Time-dependent می باشد. پس از تجزیه و تحلیل مقادیر Cp (Crossing point) خوانده شده توسط دستگاه Light cycler، نتایج به شکل منحنی زیر به دست آمد(نمودارهای ۲ و ۱). چنانچه مشاهده می شود، بیان ژن Bcl-2 پس از تیمار سلول ها با آرسنیک تری اکسید هم به صورت dose-dependent و هم به صورت time-dependent کاهش چشمگیری نسبت به نمونه های تیمار نشده(نمونه صفر) داشته است.



نمودار ۱: نمودار تغییر در بیان ژن Bcl-2 به صورت dose-dependent در سلول های NB4 تیمار شده با دوزهای مختلف آرسنیک پس از ۴۸ ساعت



نمودار ۲: نمودار تغییر در بیان ژن Bcl-2 به صورت time-dependent در سلول های تیمار شده با دوز $2 \mu\text{M}$ آرسنیک تری اکسید در مقایسه با نمونه های تیمار نشده که به خوبی نشان دهنده کاهش بیان ژن می باشد.

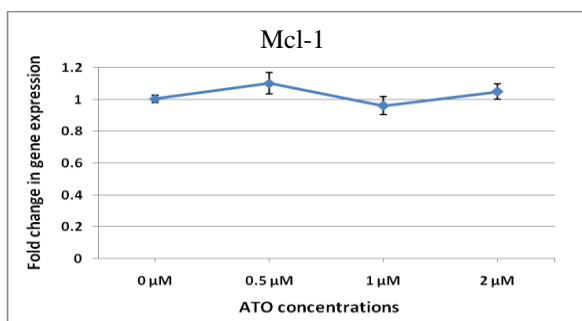
غلظت مناسب بعضی ترکیبات آرسنیک (آرسنیک تری اکسید)، فوایدی از جمله تحریک هماتوپوئز برای فیزیولوژی بدن انسان را دارد. استفاده از ترکیبات آرسنیک به عنوان دارو، قدیمی ترین تاریخچه را در طب سنتی چین دارد (۱۷، ۱۸). آرسنیک تری اکسید یک ترکیب غیرآلی ۳ ظرفیتی است که به خوبی ثابت شده برای درمان بیماران APL مفید است (۱۹). APL ممکن است اولین لوکمیای حاد باشد که با توسعه راه کارهای درمانی و دارویی، تا اندازه زیادی قابل درمان می باشد (۲۰).

فیوژن PML-RAR α در سلول های APL ، با فاکتورهای رونویسی تنظیم کننده بیان ژن ها بر همکنش می کند و تأثیرات Post-Transcriptional خود را می گذارد (۲۱). در این تحقیق نشان داده شد که داروی ATO قادر است این مهار رونویسی را برگرداند و بیان ژن ها را در سلول سرطانی تغییر دهد. از این جا می توان نتیجه گرفت که سرطانی تغییر دهد. از این جا می توان نتیجه گرفت که فاکتورهای رونویسی تنظیم کننده تأثیر می گذارد. به رغم تمامی پژوهش های انجام شده در مورد ویژگی های ضد سرطانی آرسنیک تری اکسید، مکانیسم های دقیق مولکولی این داروی قدیمی هنوز کاملاً شناسایی نشده است. به همین منظور در این پژوهه تلاش شد تا مکانیسم القای آپوپتوز آن مورد بررسی قرار گیرد.

در سال ۲۰۰۲، لی و همکارانش دریافتند که ATO باعث فسفو استیلاسیون هستیتون H_3 در کروماتین، در لوکوس کاسپاز ۱۰ می شود. این پدیده باعث بیان و فعال شدن کاسپاز ۱۰ در سلول های APL و متعاقباً فعال سازی کاسپاز های ۳ و ۸ می شود که به آپوپتوز می انجامد (۲۲). در سال ۲۰۰۱، جانگ ووک و همکارانش گزارش کردند که ATO، اثرات مهار رشدش را با تغییر در بیان یا فعال سازی چندین پروتئین کلیدی تنظیم کننده G_2/M اعمال می کند. آرسنیک باعث افزایش CyclinB₁، CyclinB₂/cyclin cdc₂ و فسفریلاسیون 2 Bcl kinase می شود که با فعال شدن کاسپاز های ۳ و ۷ در سلول های میتوزی همراه است. این پژوهشگران نتیجه گرفتند که یک مکانیسم القای آپوپتوز Cell Cycle توسط آرسنیک ممکن است در نتیجه توقف گزارش گذشت (۲۳). این گزارش ها و سایر پژوهش های انجام شده باشد (۲۴).

تغییرات در بیان ژن Mcl-1:

از آنجایی که تاکنون اکثر مطالعه هایی که روی کاهش Mcl-1 ضمن آپوپتوز صورت گرفته، سطح پروتئین را بررسی کرده است و هنوز مشخص نشده که کاهش پروتئین Mcl-1 به علت کاهش سطح mRNA از طریق رونویسی یا به دلیل کاهش سطح پروتئین و سرکوبی ترجمه می باشد، در این تحقیق برای اولین بار، تغییرات در سطح بیان ژن توسط روش Real-time در سلول های APL بررسی شد. همان طور که از منحنی فوق بر می آید، بیان ژن Mcl-1 پس از مصرف دارو تفاوت چندانی با نمونه کنترل که تیمار نشده ندارد (نمودار ۵).



نمودار ۵: نمودار بیان نسبی ژن Mcl-1 در سلول های NB4 بر اثر تیمار دارویی در زمان ۴۸ ساعت به صورت dose-dependent می باشد که تغییر چشمگیری نسبت به نمونه های تیمار نشده (نمونه صفر) نداشته است.

بحث

در این پژوهه تحقیقاتی، نشان داده شد که در اثر تیمار سلول های NB4 با آرسنیک تری اکسید، بیان ژن ۲ Bcl هم به صورت وابسته به دوز و هم به صورت وابسته به زمان به شدت کاهش می یابد. بنابراین یکی از مکانیسم های مهم عمل داروی آرسنیک تری اکسید، به راه انداختن مسیر میتوکندریایی آپوپتوز می باشد. با این حال مشاهده گردید که الگوی بیانی ژن های کاسپاز ۳ و Mcl-1 پس از درمان سلول های سرطانی با دارو، تغییر قابل ملاحظه ای نمی کند. از زمان اولین مشاهده رابطه آرسنیک و سرطان پوست در دهه ۱۸۲۰، ترکیبات آرسنیکی عموماً به عنوان کارسینوژن های بالقوه محیطی و هم زمان به عنوان موتازن برای پوست و ریه پذیرفته شدند (۱۵، ۱۶). با این وجود

پروتئین‌های آنتی‌آپوپتوزیک با نیمه عمر کوتاه مثل Mcl-1، واسطه‌های مهم آپوپتوز هستند زیرا انتظار می‌رود به سرعت توسط مهار ترجمه‌ای کاهش یابند(۲۸). این نتایج ضمن تایید حفظ سطح Mcl-1 mRNA طی آپوپتوز، به اهمیت کنترل ترجمه‌ای این پروتئین اشاره می‌کند و نشان می‌دهد که مهار در سطح رونویسی، یک رخداد عمومی در آپوپتوز نیست. در واقع ضمن آپوپتوز، تغییرات همیشه در سطح بیان ژن رخ نمی‌دهد و می‌تواند در سطح ترجمه‌ای باشد.

فعال شدن مسیر سیگنالینگ NF-kB توسط ATRA و در نتیجه مهار فعال سازی JNK که در بردارنده سیگنال مرگ است، برای تمایز گرانولوسیت‌ها ضروری نیست و باعث تجمع سلول‌های نابالغ APL و توسعه سندروم ATRA می‌شود(۲۹). ماتیو و همکارانش در سال ۲۰۰۶ نشان دادند که آرسنیک می‌تواند بر این اثر ضد آپوپتوزی غلبه کند و در کاهش اثرات جانبی مربوط به تجمع سلول‌های بالغ مفید واقع شود. ATO در تجزیه مهار کننده NF-kB (I-kB) توسط ATRA به عنوان آناتاگونیسم عمل می‌کند و متعاقباً باعث کاهش فعال سازی NF-kB و کاهش بیان ژن‌های فرودست این فاکتور رونویسی می‌شود(۳۰). هم چنین اخیراً مطالعه مومنی و همکارانش در سال ۲۰۰۹ نشان داده که ATO از طریق مهار NF-kB، باعث مهار تکثیر سلولی و القای آپوپتوز می‌شود(۱۴).

در سلول‌های سرطانی، ژن‌های آنتی‌آپوپتوزیک بیان می‌شوند و سطح بیان آن‌ها با پیشرفت بیماری بالا می‌رود. هم چنین در این سلول‌ها، فاکتورهای NF-kB، c-myb و STAT5 به طور پیوسته فعالیت دارند که می‌توانند رونویسی مهارکننده‌های آپوپتوزی Bcl-2 و CIAP2 را تحریک کنند (۳۱، ۳۲). بنابراین فعالیت دائمی NF-kB، سلول‌ها را از آپوپتوز محافظت می‌کند و به سمت سرطانی شدن سوق می‌دهد و عواملی که فعالیت NF-kB یا بیان Bcl-2 را سرکوب می‌کنند، کاندیدهای خوبی برای درمان هستند چون قادر به القای آپوپتوز می‌باشند.

تون کی و همکارانش در سال ۲۰۰۸ با روش الیزا نشان دادند که پس از تیمار سلول‌های تومور موکوزیس فونگوئید با دوز $1 \mu\text{M}$ آرسنیک تری‌اکسید، فعالیت binding فاکتورهای رونویسی NF-kB و STAT5 به توالی

حاکی از فعال شدن کاسپاز ۳ در اثر ATO می‌باشد که همگی روی پروتئین این ژن مطالعه کردند(۲۴). در پژوهش حاضر، بیان کاسپاز ۳ در سطح ژن بررسی گردید و مشاهده شد که ATO اثری روی بیان ژن کاسپاز ۳ ندارد. از آن جایی که کاسپاز ۳ از عناصر ضروری انجام آپوپتوز است، می‌توان نتیجه گرفت که ATO در یک سطح پس از ترجمه‌ای، روی کاسپازها اثر می‌گذارد و چنین تنظیم پس از ترجمه‌ای، تضمین کننده این است که کاسپازها بتوانند در صورت لزوم به سرعت فعال شوند و آپوپتوز را به راه اندازند.

نقش پروتئین-1 Mcl در پیشبرد آپوپتوز توسط ATO در سلول‌های سرطانی APL هنوز مشخص نیست. Mcl-1 نیز همانند سایر اعضای خانواده Bcl-2 از طریق برهمکنش با پروتئین‌های دیگر، آپوپتوز را مهار می‌کند(۲۵). در این تحقیق، تغییری در بیان ژن Mcl-1 ضمن القای آپوپتوز مشاهده نگردید. یک علت آن می‌تواند این باشد که پروتئین‌های خانواده Bcl-2، علاوه بر تنظیم در مرحله نسخه برداری، در مراحل پس از آن نیز تحت کنترل هستند. در پروتئین Mcl-1، چند اسید آمینه بین دومین‌های BH3 و BH4، هدف‌های تغییرات پس از ترجمه‌ای و یوبی کوئیتینه شدن می‌باشند. این تغییرات پس از ترجمه‌ای، پایداری Mcl-1 را تعیین می‌کنند(۲۶).

نیچه‌هایان و همکارانش در سال ۲۰۰۳، گزارش کردند که Mcl-1 یک سنسور مهم در مهار سترز پروتئین است و کاهش پروتئین آن برای القای آپوپتوز ضروری می‌باشد. آن‌ها دریافتند که حذف Mcl-1 طی القای آپوپتوز توسط UV، به علت نقصان در سترز پروتئین آن است نه کاهش بیان ژن آن (۲۴). در همین سال ایگلسلیاس - سرت و همکارانش نشان دادند که پروتئین Mcl-1 به سرعت پس از تیمار سلول‌های Jurkat، با دو محرك معمول آپوپتوز (آسپیرین و استراتاسپورین) تحلیل می‌یابد و بر عکس، Bcl-2 طی فرآیند مرگ سلولی عملاً ثابت می‌ماند(۲۷). در حالی که در این تحقیق مشاهده گردید که بیان ژن Mcl-1 تغییری نمی‌کند و Bcl-2 شدیداً کاهش می‌یابد. دلیل چنین تفاوتی می‌تواند متفاوت بودن الگوهای مرگ سلولی در سلول‌های مختلف با داروهای متفاوت باشد.

از آن جا که وقوع آپوپتوز مستلزم فعل شدن کاسپاز ۳ و کاهش Mcl-1 می‌باشد و در این مطالعه با استفاده از روش Real-time PCR تغییری در بیان آن‌ها مشاهده نگردید؛ می‌توان نتیجه گرفت که روش Real-time PCR به تنهایی برای بررسی این ژن‌ها طی آپوپتوز کافی نیست و پیشنهاد می‌شود در پروژه‌های بعدی، علاوه بر Real-time PCR، با روش وسترن بلاط نیز تغییرات پروتئین آن‌ها مورد تجزیه و تحلیل قرار گیرد. در ایران و در برخی کشورهای دیگر، ATO به عنوان درمان اولیه در بیماران APL (newly diagnosed) استفاده می‌شود با این وجود میزان کارآیی و تأثیر آن روی بیماران APL که پیش از آن هیچ درمانی دریافت نکرده‌اند، نامشخص است(۳۵، ۳۶). از این رو تحقیقات آتی درباره مکانیسم‌های دقیق این دارو که توسط آن در چرخه سلولی و رونویسی ایفای نقش می‌کند، می‌تواند ما را در بهینه کردن اثرات درمانی و در عین حال کاستن از توکسیسیتی و اثرات جانبی آن یاری کند.

تشکر و قدردانی

پژوهش حاضر با حمایت‌های مالی و تجهیزاتی مرکز تحقیقات خون، انکولوژی و پیوند مغز استخوان بیمارستان دکتر شریعتی تهران انجام شده است که بدین وسیله از کلیه مسؤولین و پرسنل صمیمی آن مرکز تشکر و قدردانی می‌شود.

اتصالیشان در DNA به شدت کاهش یافت(۲۸). NF-kB فاکتور رونویسی سلول‌های یوکایوتی است که به توالی دکامریک مخصوصی (GGG ACT TTC C) بر روی DNA باند می‌شود(۳۳). به خصوص STAT ها برای تنظیم ژن‌های Bcl-2 و BCL-XL بسیار مهم هستند زیرا یک مکان اتصالی برای STAT5 در ناحیه تنظیمی ژن Bcl-2 شناسایی شده است(۳۴).

از آن جا که ژن آنتی‌آپوپتوتیک Bcl-2 از ژن‌های مهم فرودست فاکتورهای رونویسی NF-kB و STAT5 است، نتایج پژوهش ما به خوبی با نتایج این محققین هم خوانی دارد و در واقع مهم‌ترین علت کاهش بیان ژن Bcl-2 در آپوپتوز القا شده توسط ATO، کاهش اتصال NF-kB و STAT5 به پرومومتر این ژن در اثر آرسنیک و مهار نسخه‌برداری و بیان ژن Bcl-2 می‌باشد.

نتیجه‌گیری

همان گونه که از مجموع این گزارش‌ها و پژوهش‌های انجام شده و هم چنین نتایج تحقیق حاضر برمی‌آید، آرسنیک تری‌اکسید مکانیسم‌های عمل متعددی دارد و از مسیرهای گوناگون عمل می‌کند. مسیری که در این مطالعه بررسی شد، مسیر میتوکندریایی القای آپوپتوز بود که مشاهده شد آرسنیک با ممانعت از بیان ژن‌های آنتی‌آپوپتوتیک، باعث به راه انداختن آپوپتوز می‌شود.

References :

- 1- Lo Coco F, Ammatuna E, Sanz MA. Current treatment of acute promyelocytic leukemia. *Haematologica* 2007; 92(3): 289-91.
- 2- Randolph TR. Acute promyelocytic leukemia (AML-M3)--Part 1: Pathophysiology, clinical diagnosis, and differentiation therapy. *Clin Lab Sci* 2000; 13(2): 98-105.
- 3- de Thé H, Chomienne C, Lanotte M, Degos L, Dejean A. The t(15;17) translocation of acute promyelocytic leukaemia fuses the retinoic acid receptor alpha gene to a novel transcribed locus. *Nature* 1990; 347(6293): 558-61.
- 4- Salomoni P, Pandolfi PP. The role of PML in tumor suppression. *Cell* 2002; 108(2): 165-70.
- 5- Lo-Coco F, Ammatuna E. The biology of acute promyelocytic leukemia and its impact on diagnosis and treatment. *Hematology Am Soc Hematol Educ Program* 2006: 156-61.
- 6- Ziaeи JE. High frequency of acute promyelocytic leukemia in northwest Iran. *Asian Pac J Cancer Prev* 2004; 5(2): 188-9.
- 7- Mele A, Stazi MA, Pulsoni A, Visani G, Monarca B, Castelli G, et al. Epidemiology of acute promyelocytic leukemia. *Haematologica* 1995; 80(5): 405-8.
- 8- Sell S. Stem cell origin of cancer and differentiation therapy. *Crit Rev Oncol Hematol* 2004; 51(1): 1-28.
- 9- Soignet SL, Maslak P, Wang ZG, Jhanwar S, Calleja E, Dardashti LJ, et al. Complete remission after treatment of acute promyelocytic leukemia with arsenic trioxide. *N Engl J Med* 1998; 339(19): 1341-8.
- 10- Tallman MS. Treatment of relapsed or refractory acute promyelocytic leukemia. *Best Pract Res Clin Haematol* 2007; 20(1): 57-65.
- 11- Wang ZY, Chen Z. Acute promyelocytic leukemia: from highly fatal to highly curable. *Blood* 2008; 111(5): 2505-15.
- 12- Mathews V, George B, Lakshmi KM, Viswabandya A, Bajel A, Balasubramanian P, et al. Single-agent arsenic trioxide in the treatment of newly diagnosed acute promyelocytic leukemia: durable remissions with minimal toxicity. *Blood* 2006; 107(7): 2627-32.
- 13- Shen ZX, Chen GQ, Ni JH, Li XS, Xiong SM, Qiu QY, et al. Use of arsenic trioxide (As_2O_3) in the treatment of acute promyelocytic leukemia (APL): II. Clinical efficacy and pharmacokinetics in relapsed patients. *Blood* 1997; 89(9): 3354-60.
- 14- Momeny M, Zakidizaji M, Ghasemi R, Dehpour AR, Rahimi Balaei M, Abdolazimi Y, et al. Arsenic trioxide induces apoptosis in NB-4, an acute promyelocytic leukemia cell line, through up-regulation of p73 via suppression of nuclear factor kappa B-mediated inhibition of p73 transcription and prevention of NF-kappaB-mediated induction of XIAP, cIAP2, BCL-X(L) and survivin. *Med Oncol* 2009. [Epub ahead of print]
- 15- Zhu J, Chen Z, Lallemand-Breitenbach V, de Thé H. How acute promyelocytic leukaemia revived arsenic. *Nat Rev Cancer* 2002; 2(9): 705-13.
- 16- Li X, Ding X, Adrian TE. Arsenic trioxide causes redistribution of cell cycle, caspase activation, and GADD expression in human colonic, breast, and pancreatic cancer cells. *Cancer Invest* 2004; 22 (3): 389-400.
- 17- Diaz Z, Colombo M, Mann KK, Su H, Smith KN, Bohle DS, et al. Trolox selectively enhances arsenic-mediated oxidative stress and apoptosis in APL and other malignant cell lines. *Blood* 2005; 105(3): 1237-45.
- 18- Ho SY, Chen WC, Chiu HW, Lai CS, Guo HR, Wang YJ. Combination treatment with arsenic trioxide and irradiation enhances apoptotic effects in U937 cells through increased mitotic arrest and ROS generation. *Chem Biol Interact* 2009; 179(2-3): 304-13.
- 19- Tallman MS. The expanding role of arsenic in acute promyelocytic leukemia. *Semin Hematol* 2008; 45(3 Suppl 2): S25-9.
- 20- Kantarjian H, O'Brien S, Cortes J, Wierda W, Faderl S, Garcia-Manero G, et al. Therapeutic advances in leukemia and myelodysplastic syndrome over the past 40 years. *Cancer* 2008; 113(7 Suppl): 1933-52.
- 21- Slack JL, Waxman S, Tricot G, Tallman MS, Bloomfield CD. Advances in the management of acute promyelocytic leukemia and other hematologic malignancies with arsenic trioxide. *Oncologist* 2002; 7 Suppl 1: 1-13.
- 22- Li J, Chen P, Sinogeeva N, Gorospe M, Wersto RP, Chrest FJ, et al. Arsenic trioxide promotes histone H3 phosphoacetylation at the chromatin of CASPASE-10 in acute promyelocytic leukemia cells. *J Biol Chem* 2002; 277(51): 49504-10.
- 23- Park JW, Choi YJ, Jang MA, Baek SH, Lim JH, Passaniti T, et al. Arsenic trioxide induces G2/M growth arrest and apoptosis after caspase-3 activation and bcl-2 phosphorylation in promonocytic U937 cells. *Biochem Biophys Res Commun* 2001; 286(4): 726-34.
- 24- Zhu J, Okumura H, Ohtake S, Nakamura S, Nakao S. The molecular mechanism of arsenic trioxide-induced apoptosis and oncosis in leukemia/lymphoma cell lines. *Acta Haematol* 2003; 110(1): 1-10.
- 25- Danial NN. BCL-2 family proteins: critical checkpoints of apoptotic cell death. *Clin Cancer Res* 2007; 13(24): 7254-63.
- 26- Nijhawan D, Fang M, Traer E, Zhong Q, Gao W, Du F, et al. Elimination of Mcl-1 is required for the initiation of apoptosis following ultraviolet irradiation. *Genes Dev* 2003; 17(12): 1475-86.
- 27- Iglesias-Serret D, Piqué M, Gil J, Pons G, López JM. Transcriptional and translational control of Mcl-1 during apoptosis. *Arch Biochem Biophys* 2003; 417(2): 141-52.
- 28- Tóthová E, Fricova M, Stecová N, Kafková A, Elbertová A. High expression of Bcl-2 protein in acute myeloid leukemia cells is associated with poor response to chemotherapy. *Neoplasma* 2002; 49(3): 141-4.
- 29- Mathieu J, Giraudier S, Lanotte M, Besançon F. Retinoid-induced activation of NF-kappaB in APL cells is not essential for granulocytic differentiation, but prolongs the life span of mature cells. *Oncogene* 2005; 24(48): 7145-55.
- 30- Tun-Kyi A, Qin JZ, Oberholzer PA, Navarini AA, Hassel JC, Dummer R, et al. Arsenic trioxide down-regulates antiapoptotic genes and induces cell death in mycosis fungoides tumors in a mouse model. *Ann*

- Oncol 2008; 19 (8): 1488-94.
- 31- Chu ZL, McKinsey TA, Liu L, Gentry JJ, Malim MH, Ballard DW. Suppression of tumor necrosis factor-induced cell death by inhibitor of apoptosis c-IAP2 is under NF-kappaB control. Proc Natl Acad Sci U S A 1997; 94(19): 10057-62.
- 32- Mathieu J, Besançon F. Arsenic trioxide represses NF-kappaB activation and increases apoptosis in ATRA-treated APL cells. Ann N Y Acad Sci 2006; 1090: 203-8.
- 33- Weber-Nordt RM, Egen C, Wehinger J, Ludwig W, Gouilleux-Gruart V, Mertelsmann R, *et al.* Constitutive activation of STAT proteins in primary lymphoid and myeloid leukemia cells and in Epstein-Barr virus (EBV)-related lymphoma cell lines. Blood 1996; 88(3): 809-16.
- 34- Michel L, Dupuy A, Jean-Louis F, Sors A, Poupon J, Viguier M, *et al.* Arsenic trioxide induces apoptosis of cutaneous T cell lymphoma cells: evidence for a partially caspase-independent pathway and potentiation by ascorbic acid (vitamin C). J Invest Dermatol 2003; 121(4): 881-93.
- 35- Ghavamzadeh A, Alimoghaddam K, Ghaffari SH, Rostami S, Jahani M, Hosseini R, *et al.* Treatment of acute promyelocytic leukemia with arsenic trioxide without ATRA and/or chemotherapy. Ann Oncol 2006; 17(1): 131-4.
- 36- Miguel AS. Treatment of Acute Promyelocytic Leukemia. Hematology 2006; (1): 147-155.

Original Article

The effect of arsenic trioxide treatment on mitochondrial apoptotic gene expression in acute promyelocytic leukemia cell line

Sharifzadeh M.¹, Hashemi M.², Momeny M.³, Alimoghaddam K.³, Ghavamzadeh A.³, Ghaffari H.³

¹Islamic Azad University, Science and Research Branch, Tehran, Iran

²Islamic Azad University, Tehran Medical Branch, Tehran, Iran

³Hematology, Oncology and Stem Cell Research Center of Shariati Hospital, Tehran University of Medical Sciences, Tehran, Iran

Abstract

Background and Objectives

Acute promyelocytic leukemia (APL) is one of the most malignant forms of acute leukemia with a fatal course of only weeks which represents 10-15% of AML in adults. Arsenic trioxide as a single agent factor (without chemotherapy) is the treatment of choice for APL patients; it induces cell death through apoptosis but the mechanism by which arsenic targets apoptosis and dramatically affects gene expression remains poorly understood. Since arsenic is used as first line treatment in Iran, it is worth investigating its effect on expression of genes involved in APL.

Materials and Methods

In this descriptive study, to understand the underlying mechanisms of cell death induction by arsenic, we treated NB4 cell line in a dose and time dependent manner. Extracting RNA and synthesis of cDNA, gene expression of apoptotic genes in mitochondrial pathway including caspase3, Mcl-1 and Bcl-2 was analyzed through Real-Time PCR.

Results

Our findings showed that As₂O₃-induced cell death was paralleled by reduced expression of the antiapoptotic protein Bcl-2 but the expression of Caspase3 and Mcl-1 did not change after arsenic treatment.

Conclusions

These results suggest that changes in Bcl-2 gene expression may be one of the mechanisms of action of arsenic in induction of apoptosis, while Caspase3 and Mcl-1 gene expression are not affected by arsenic at the transcriptional level.

Key words: Promyelocytic Leukemia, Acute, arsenic trioxide, Apoptosis, Caspase 3, bcl-2 Genes

Sci J Iran Blood Transfus Org 2010; 7(3): 138-147

Received: 7 Feb 2010

Accepted: 14 Jul 2010

Correspondence: Ghaffari SH., PhD. Associate professor. Hematology, Oncology and Stem Cell Research Center, Tehran University of Medical Sciences, Shariati Hospital, Kargar Street. Postal code: 14111, Tehran, Iran. Tel: (+9821) 84902665; Fax : (+9821) 88004140 E-mail: shghaffari@tums.ac.ir